

# Visión por Computador

Luis Baumela

<http://www.dia.fi.upm.es/~lbaumela>



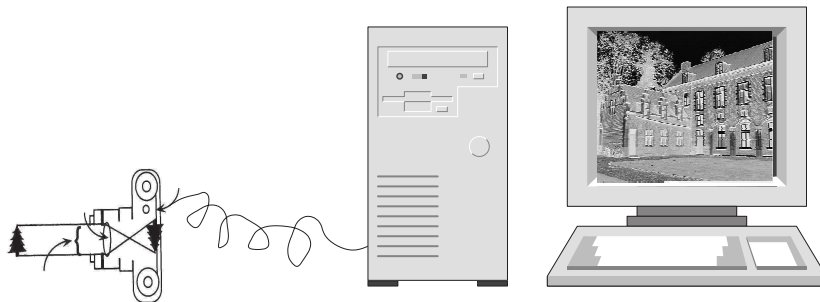
Departamento de Inteligencia Artificial



Universidad Politécnica de Madrid

## Tema 4. Modelado de cámara y calibración

### Componentes de un sistema de visión



#### Índice:

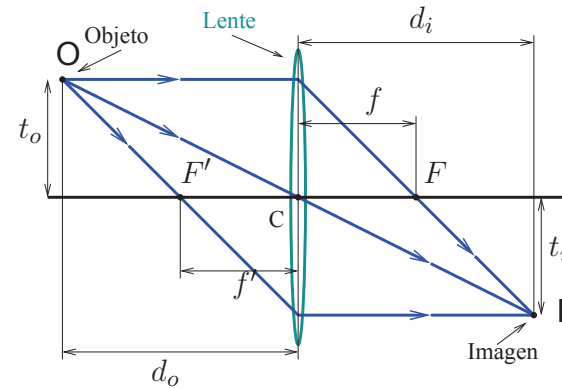
- Modelo de lente fina
- Modelo de proyección perspectiva
- Modelo proyectivo de cámara
- Modelo afín de cámara
- Calibración
- Bibliografía

## Modelo de lente fina

- **Hipótesis:** La óptica de la lente puede modelarse como una lente fina.

## Modelo de lente fina

- **Hipótesis:** La óptica de la lente puede modelarse como una lente fina.
- **Principio de funcionamiento:** Refracción de la luz.

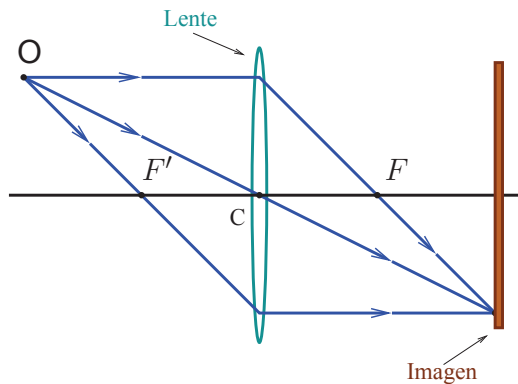


Ec fundamental:

$$\frac{1}{f} = \frac{1}{d_i} + \frac{1}{d_o}$$

## Modelo de lente fina

- **Hipótesis:** La óptica de la lente puede modelarse como una lente fina.
- **Principio de funcionamiento:** Refracción de la luz.

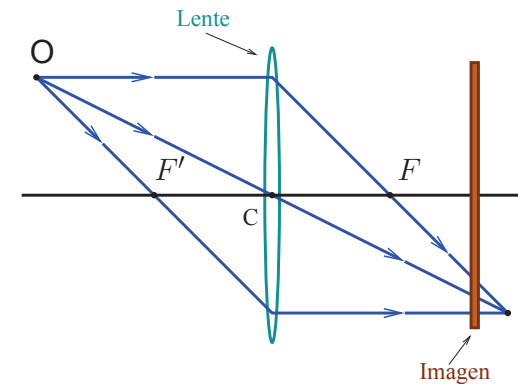


Ec fundamental:

$$\frac{1}{f} = \frac{1}{d_i} + \frac{1}{d_o}$$

## Modelo de lente fina

- **Hipótesis:** La óptica de la lente puede modelarse como una lente fina.
- **Principio de funcionamiento:** Refracción de la luz.



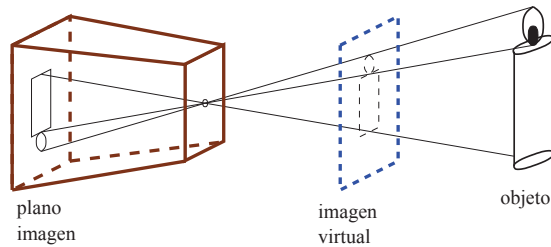
Ec fundamental:

$$\frac{1}{f} = \frac{1}{d_i} + \frac{1}{d_o}$$

$$f = d_i, \text{ si } d_o \approx \infty.$$

## Modelo de proyección perspectiva

### ● Cámara oscura.

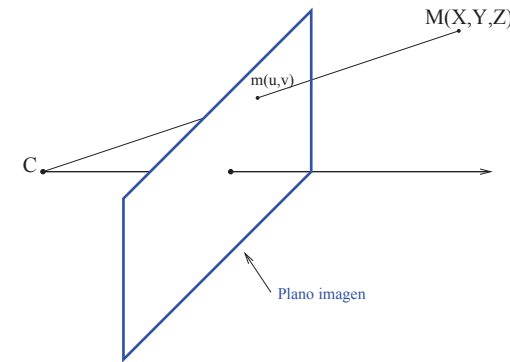


Luis Baumela. Visión por Computador. – p.6/19

## Modelo de proyección perspectiva

### ● Abstracción geométrica.

La proyección de un punto viene dada por el corte del plano imagen con la visual que une el punto y el centro óptico de la cámara.

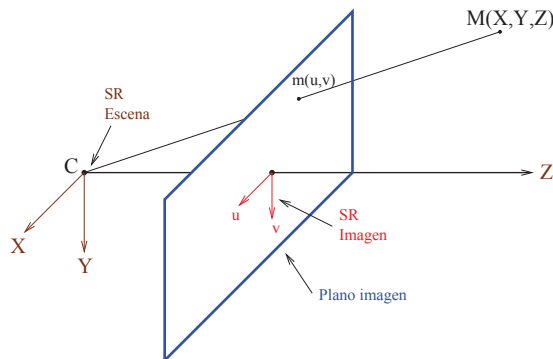


Luis Baumela. Visión por Computador. – p.6/19

## Modelo de proyección perspectiva

### ● Abstracción geométrica.

La proyección de un punto viene dada por el corte del plano imagen con la visual que une el punto y el centro óptico de la cámara.

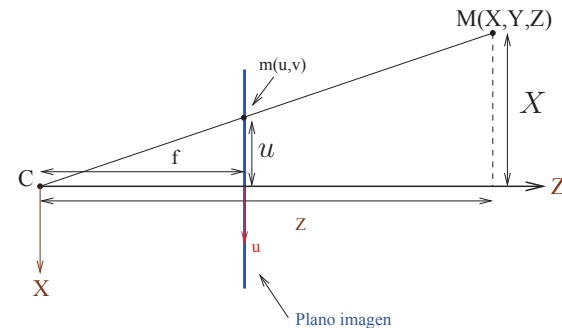


Luis Baumela. Visión por Computador. – p.6/19

## Modelo de proyección perspectiva

### ● Modelo de proyección.

Relaciona las posiciones de puntos en la escena con su proyección sobre el plano imagen.



$$u = f \frac{X}{Z}$$

$$v = f \frac{Y}{Z}$$

Luis Baumela. Visión por Computador. – p.6/19

## Modelo proyectivo de cámara

1. El modelo es lineal empleando coordenadas homogéneas.

<i>cartesianas</i>		<i>homogéneas</i>
$(X, Y, Z)$	$\Leftrightarrow$	$(\lambda X, \lambda Y, \lambda Z, \lambda)$
$(\frac{A}{D}, \frac{B}{D}, \frac{C}{D})$	$\Leftrightarrow$	$(A, B, C, D)$

## Modelo proyectivo de cámara

1. El modelo es lineal empleando coordenadas homogéneas.

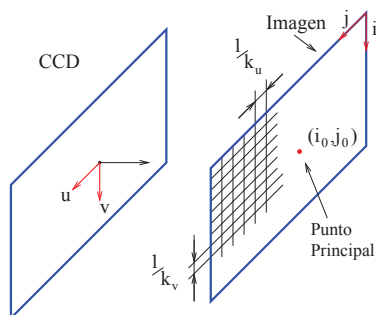
<i>cartesianas</i>		<i>homogéneas</i>
$(X, Y, Z)$	$\Leftrightarrow$	$(\lambda X, \lambda Y, \lambda Z, \lambda)$
$(\frac{A}{D}, \frac{B}{D}, \frac{C}{D})$	$\Leftrightarrow$	$(A, B, C, D)$

2. El modelo de proyección resultante, en forma matricial:

$$\begin{aligned} u &= f \frac{X}{Z} \\ v &= f \frac{Y}{Z} \end{aligned} \quad \equiv \quad \begin{pmatrix} \lambda u \\ \lambda v \\ \lambda \end{pmatrix} = \begin{pmatrix} f & 0 & 0 & 0 \\ 0 & f & 0 & 0 \\ 0 & 0 & 1 & 0 \end{pmatrix} \begin{pmatrix} X \\ Y \\ Z \\ 1 \end{pmatrix}$$

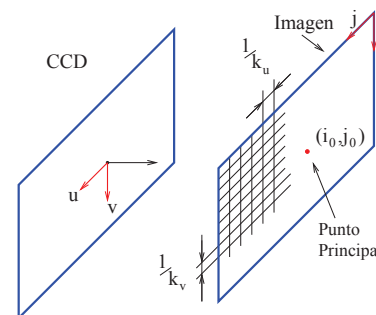
## Modelo proyectivo de cámara

3. Modelo intrínseco.  
Digitalización  $\equiv$  cambio de unidades + traslación.



## Modelo proyectivo de cámara

3. Modelo intrínseco.  
Digitalización  $\equiv$  cambio de unidades + traslación.

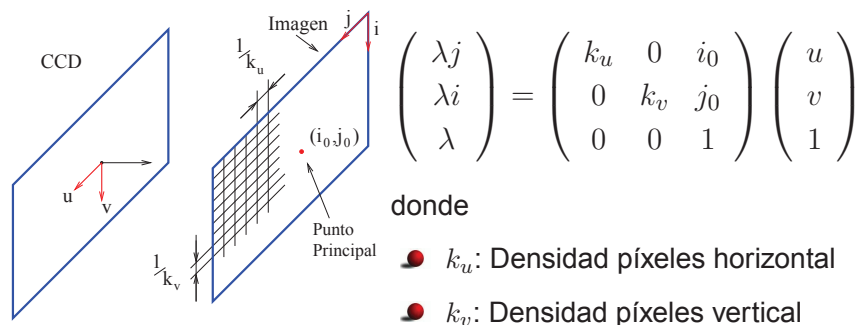


$$\begin{aligned} j &= k_u u + j_0 \\ i &= k_v v + i_0 \end{aligned}$$

## Modelo proyectivo de cámara

### 3. Modelo intrínseco.

Digitalización  $\equiv$  cambio de unidades + traslación.

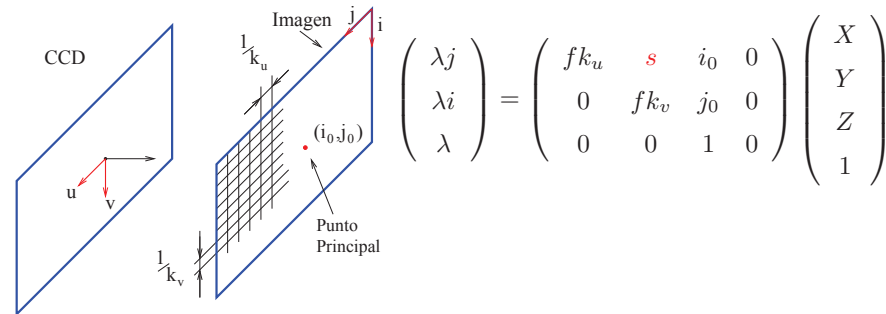


$$\begin{aligned} j &= k_u u + j_0 \\ i &= k_v v + i_0 \end{aligned}$$

## Modelo proyectivo de cámara

### 3. Modelo intrínseco.

Digitalización  $\equiv$  cambio de unidades + traslación.

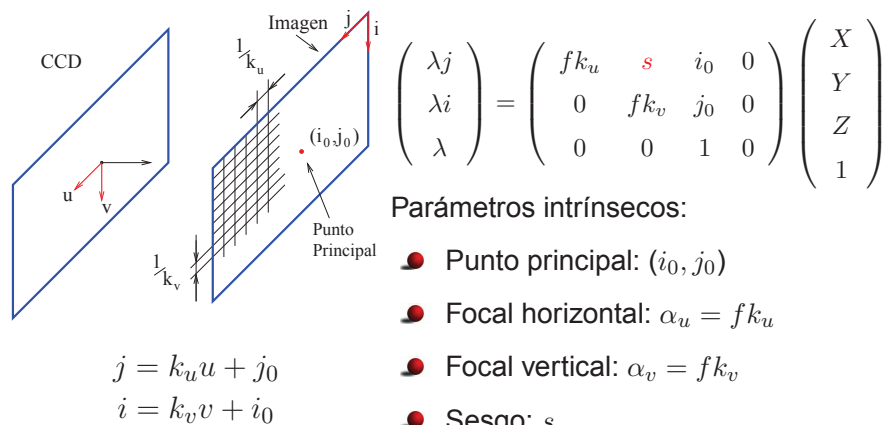


$$\begin{aligned} j &= k_u u + j_0 \\ i &= k_v v + i_0 \end{aligned}$$

## Modelo proyectivo de cámara

### 3. Modelo intrínseco.

Digitalización  $\equiv$  cambio de unidades + traslación.

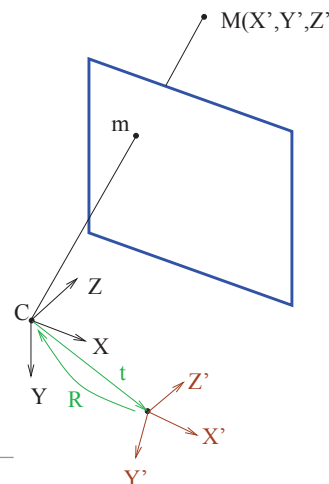


$$\begin{aligned} j &= k_u u + j_0 \\ i &= k_v v + i_0 \end{aligned}$$

## Modelo proyectivo de cámara

### 4. Modelo extrínseco.

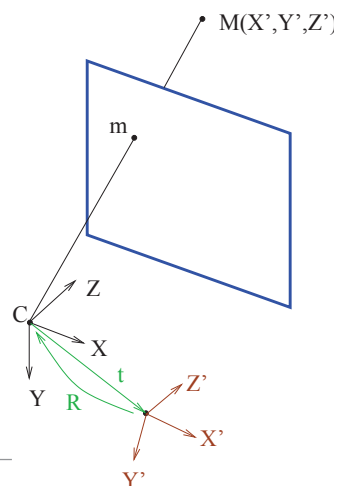
Movemos el SR de la escena fuera de la cámara



## Modelo proyectivo de cámara

### 4. Modelo extrínseco.

Movemos el SR de la escena fuera de la cámara



$$\begin{pmatrix} \lambda X \\ \lambda Y \\ \lambda Z \\ \lambda \end{pmatrix} = \begin{pmatrix} \mathbf{R}_{3 \times 3} & \bar{\mathbf{t}}_{3 \times 1} \\ \mathbf{0}_{1 \times 3} & 1 \end{pmatrix} \begin{pmatrix} X' \\ Y' \\ Z' \\ 1 \end{pmatrix}$$

donde

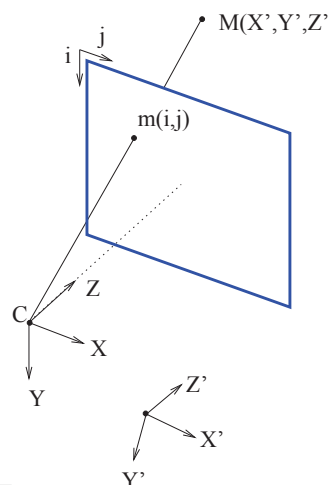
**R**: Rotación entre SR escena y cámara.

$\bar{\mathbf{t}}$ : Posición cámara en la escena.

Luis Baumela. Visión por Computador – p.9/19

## Modelo proyectivo de cámara

### 5. Modelo de proyección perspectiva



$$\begin{pmatrix} \lambda j \\ \lambda i \\ \lambda \end{pmatrix} = \underbrace{\mathbf{K} (\mathbf{R}_{3 \times 3} | \bar{\mathbf{t}}_{3 \times 1})}_{\mathbf{P}_{3 \times 4}} \begin{pmatrix} X' \\ Y' \\ Z' \\ 1 \end{pmatrix}$$

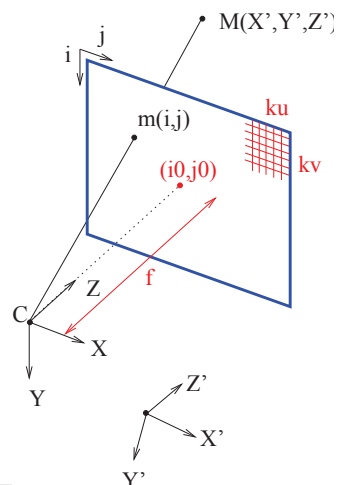
11 parámetros del modelo:

$$\mathbf{P}_{3 \times 4} = \begin{pmatrix} p_{11} & p_{12} & \cdots & p_{14} \\ \vdots & \vdots & \ddots & \vdots \\ p_{31} & p_{32} & \cdots & p_{34} \end{pmatrix}$$

Luis Baumela. Visión por Computador – p.10/19

## Modelo proyectivo de cámara

### 5. Modelo de proyección perspectiva



$$\begin{pmatrix} \lambda j \\ \lambda i \\ \lambda \end{pmatrix} = \mathbf{K} (\mathbf{R}_{3 \times 3} | \bar{\mathbf{t}}_{3 \times 1}) \begin{pmatrix} X' \\ Y' \\ Z' \\ 1 \end{pmatrix}$$

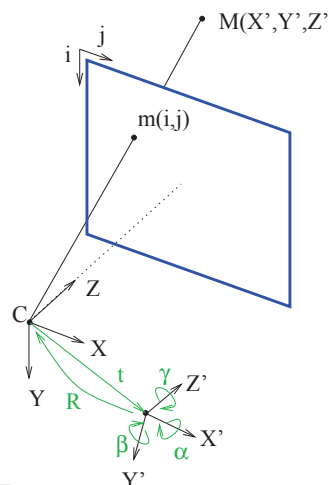
5 parámetros **intrínsecos**:

$$\mathbf{K} = \begin{pmatrix} \alpha_u & s & j_0 \\ 0 & \alpha_v & i_0 \\ 0 & 0 & 1 \end{pmatrix}$$

Luis Baumela. Visión por Computador – p.10/19

## Modelo proyectivo de cámara

### 5. Modelo de proyección perspectiva



$$\begin{pmatrix} \lambda j \\ \lambda i \\ \lambda \end{pmatrix} = \mathbf{K} (\mathbf{R}_{3 \times 3} | \bar{\mathbf{t}}_{3 \times 1}) \begin{pmatrix} X' \\ Y' \\ Z' \\ 1 \end{pmatrix}$$

6 parámetros **extrínsecos**:

$$\mathbf{R}_{3 \times 3}(\alpha, \beta, \gamma), \quad \bar{\mathbf{t}}_{3 \times 1} = \begin{pmatrix} t_X \\ t_Y \\ t_Z \end{pmatrix}$$

Luis Baumela. Visión por Computador – p.10/19

## Modelo proyectivo de cámara

### 6. Caracterización del modelo de proyección perspectiva.

Sea  $P = (A | \bar{b})$  una matriz de dimensión  $3 \times 4$  y sean  $(\bar{a}^i)^\top$  ( $i = 1 \dots 3$ ) las filas de la matriz  $A$ .

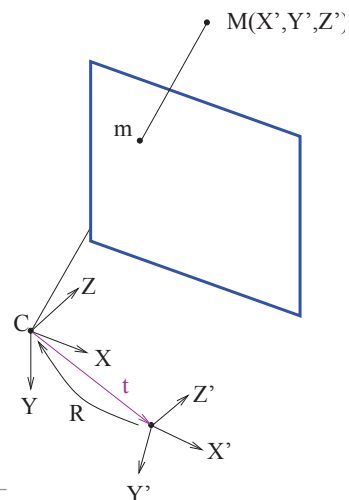
- $P$  es una matriz de proyección perspectiva  $\iff \det(A) \neq 0$ .
- $P$  es una matriz de proyección perspectiva sin sesgo ( $s = 0$ )  $\iff \det(A) \neq 0$  y  $(\bar{a}^1 \times \bar{a}^3) \cdot (\bar{a}^2 \times \bar{a}^3) = 0$ .
- $P$  es una matriz de proyección perspectiva sin sesgo y con píxeles cuadrados  $\left(\frac{\alpha_u}{\alpha_v} = 1\right) \iff \det(A) \neq 0$  y

$$(\bar{a}^1 \times \bar{a}^3) \cdot (\bar{a}^2 \times \bar{a}^3) = 0$$

$$(\bar{a}^1 \times \bar{a}^3) \cdot (\bar{a}^1 \times \bar{a}^3) = (\bar{a}_2 \times \bar{a}^3) \cdot (\bar{a}^2 \times \bar{a}^3)$$

## Modelo proyectivo de cámara

### 7. Propiedades.



Sea la matriz de proyección  $[A | \bar{b}]$

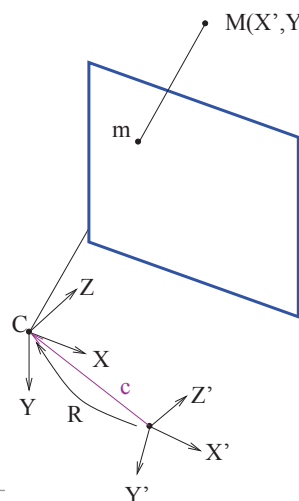
**Centro Óptico.**  $\bar{c} = -A^{-1}\bar{b}$ .

Ya que:

$P$  también puede expresarse como  $P = K[R | -R\bar{c}]$ . Luego,  $A = KR$  y  $\bar{b} = -A\bar{c}$ , con lo que  $\bar{c} = -A^{-1}\bar{b}$ .

## Modelo proyectivo de cámara

### 7. Propiedades.



Sea la matriz de proyección  $[A | \bar{b}]$

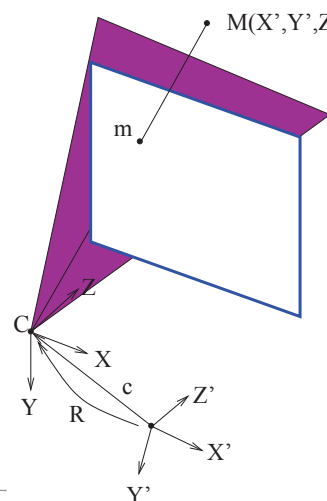
**Centro Óptico.**  $\bar{c} = -A^{-1}\bar{b}$ .

Ya que:

$P$  también puede expresarse como  $P = K[R | -R\bar{c}]$ . Luego,  $A = KR$  y  $\bar{b} = -A\bar{c}$ , con lo que  $\bar{c} = -A^{-1}\bar{b}$ .

## Modelo proyectivo de cámara

### 7. Propiedades.



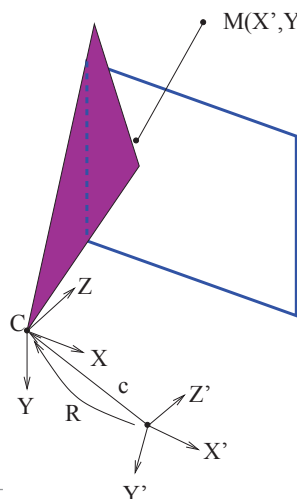
Sea la matriz de proyección  $[A | \bar{b}]$

**Centro Óptico.**  $\bar{c} = -A^{-1}\bar{b}$ .

**Filas de P** Planos que pasan por  $\bar{c}$  y:  $(\bar{p}^j)^\top \cdot$  contiene la línea  $j = 0$ .

## Modelo proyectivo de cámara

### 7. Propiedades.



$M(X', Y', Z')$  Sea la matriz de proyección  $[A | \bar{b}]$

**Centro Óptico.**  $\bar{c} = -A^{-1}\bar{b}$ .

**Filas de P** Planos que pasan por  $\bar{c}$  y:

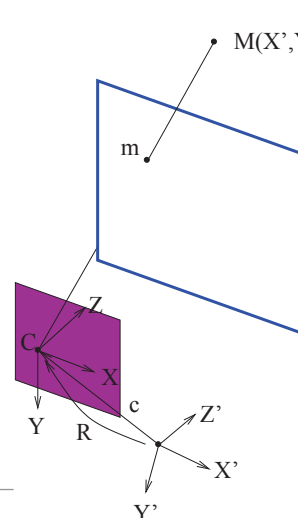
$(\bar{p}^1)^\top$ . contiene la línea  $j = 0$ .

$(\bar{p}^2)^\top$ . contiene la línea  $i = 0$ .

Luis Baumela. Visión por Computador-- p.12/19

## Modelo proyectivo de cámara

### 7. Propiedades.



$M(X', Y', Z')$  Sea la matriz de proyección  $[A | \bar{b}]$

**Centro Óptico.**  $\bar{c} = -A^{-1}\bar{b}$ .

**Filas de P** Planos que pasan por  $\bar{c}$  y:

$(\bar{p}^1)^\top$ . contiene la línea  $j = 0$ .

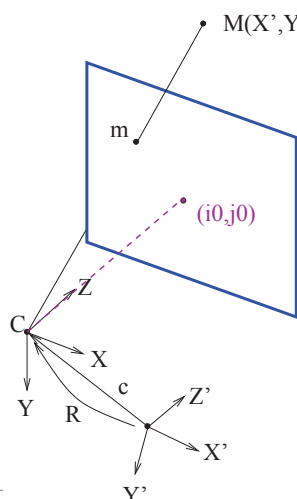
$(\bar{p}^2)^\top$ . contiene la línea  $i = 0$ .

$(\bar{p}^3)^\top$ . es paralelo al plano imagen.

Luis Baumela. Visión por Computador-- p.12/19

## Modelo proyectivo de cámara

### 7. Propiedades.



$M(X', Y', Z')$  Sea la matriz de proyección  $[A | \bar{b}]$

**Centro Óptico.**  $\bar{c} = -A^{-1}\bar{b}$ .

**Filas de P** Planos que pasan por  $\bar{c}$  y:

$(\bar{p}^1)^\top$ . contiene la línea  $j = 0$ .

$(\bar{p}^2)^\top$ . contiene la línea  $i = 0$ .

$(\bar{p}^3)^\top$ . es paralelo al plano imagen.

**Punto principal.**  $A\bar{a}^3$ . Ya que el eje axial es  $\lambda\bar{a}^3 - A^{-1}\bar{b}$ , y su imagen

$$[A | \bar{b}] \begin{bmatrix} \lambda\bar{a}^3 - A^{-1}\bar{b} \\ 1 \end{bmatrix} = A\bar{a}^3.$$

Luis Baumela. Visión por Computador-- p.12/19

## Modelo afín de cámara

Si la matriz de proyección  $P_A$  es de la forma

$$P_A = \left[ \begin{array}{ccc|c} a_{11} & a_{12} & a_{13} & b_1 \\ a_{21} & a_{22} & a_{23} & b_2 \\ 0 & 0 & 0 & 1 \end{array} \right] = \left[ \begin{array}{ccc} \alpha_u & s & 0 \\ 0 & \alpha_v & 0 \\ 0 & 0 & 1 \end{array} \right] \left[ \begin{array}{c|c} \bar{r}^{1\top} & t_1 \\ \bar{r}^{2\top} & t_2 \\ \hline \bar{0} & 1 \end{array} \right]$$

entonces decimos que  $P_A$  representa una cámara afín.

Tiene 8 parámetros:

Luis Baumela. Visión por Computador-- p.13/19



## Modelo afín de cámara

Si la matriz de proyección  $\mathbf{P}_A$  es de la forma

$$\mathbf{P}_A = \left[ \begin{array}{ccc|c} a_{11} & a_{12} & a_{13} & b_1 \\ a_{21} & a_{22} & a_{23} & b_2 \\ \hline 0 & 0 & 0 & 1 \end{array} \right] = \left[ \begin{array}{cc|c} \alpha_u & s & 0 \\ 0 & \alpha_v & 0 \\ \hline 0 & 0 & 1 \end{array} \right] \left[ \begin{array}{c|c} \bar{\mathbf{r}}^{1\top} & t_1 \\ \bar{\mathbf{r}}^{2\top} & t_2 \\ \hline \bar{0} & 1 \end{array} \right]$$

entonces decimos que  $\mathbf{P}_A$  representa una cámara afín.

Tiene 8 parámetros:

- 3 parámetros **intrínsecos**. No está definido el punto principal.

$$\mathbf{K}_{2 \times 2} = \left[ \begin{array}{cc} \alpha_u & s \\ 0 & \alpha_v \end{array} \right]$$

## Modelo afín de cámara

Si la matriz de proyección  $\mathbf{P}_A$  es de la forma

$$\mathbf{P}_A = \left[ \begin{array}{ccc|c} a_{11} & a_{12} & a_{13} & b_1 \\ a_{21} & a_{22} & a_{23} & b_2 \\ \hline 0 & 0 & 0 & 1 \end{array} \right] = \left[ \begin{array}{cc|c} \alpha_u & s & 0 \\ 0 & \alpha_v & 0 \\ \hline 0 & 0 & 1 \end{array} \right] \left[ \begin{array}{c|c} \bar{\mathbf{r}}^{1\top} & t_1 \\ \bar{\mathbf{r}}^{2\top} & t_2 \\ \hline \bar{0} & 1 \end{array} \right]$$

entonces decimos que  $\mathbf{P}_A$  representa una cámara afín.

Tiene 8 parámetros:

- 3 parámetros **intrínsecos**.
- 5 parámetros **extrínsecos**.

$$\mathbf{R}_{2 \times 3} = \left[ \begin{array}{c} \bar{\mathbf{r}}^{1\top} \\ \bar{\mathbf{r}}^{2\top} \end{array} \right], \quad \bar{\mathbf{t}} = \left[ \begin{array}{c} t_1 \\ t_2 \end{array} \right].$$

## Modelo afín de cámara

Propiedades:

- Es una buena aproximación a una cámara “real” cuando el relieve de la escena es pequeño en comparación a la distancia media de la escena a la cámara.

## Modelo afín de cámara

Propiedades:

- Es una buena aproximación a una cámara “real” cuando el relieve de la escena es pequeño en comparación a la distancia media de la escena a la cámara.
- La proyección del centro de masas de una nube de puntos es el centro de masas de las proyecciones.

En efecto, la proyección en cartesianas puede expresarse como  $\bar{\mathbf{m}}_{2 \times 1} = \mathbf{A}_{2 \times 3} \bar{\mathbf{M}}_{3 \times 1} + \bar{\mathbf{b}}$ , entonces basta comprobar que

$$\frac{1}{N} \sum_i (\mathbf{A} \bar{\mathbf{M}}_i + \bar{\mathbf{b}}) = \mathbf{A} \left( \frac{1}{N} \sum_i \bar{\mathbf{M}}_i \right) + \bar{\mathbf{b}}$$

## Modelo afín de cámara

### Propiedades:

- Es una buena aproximación a una cámara “real” cuando el relieve de la escena es pequeño en comparación a la distancia media de la escena a la cámara.
- La proyección del centro de masas de una nube de puntos es el centro de masas de las proyecciones.
- Conserva el paralelismo.

Luis Baumela. Visión por Computador – p.14/19

## Modelo afín de cámara

### Propiedades:

- Es una buena aproximación a una cámara “real” cuando el relieve de la escena es pequeño en comparación a la distancia media de la escena a la cámara.
- La proyección del centro de masas de una nube de puntos es el centro de masas de las proyecciones.
- Conserva el paralelismo.
- La dirección de proyección ortogonal es el vector  $\bar{d}$  tal que  $\mathbf{A}_{2 \times 3} \bar{d} = \bar{0}$ .

Luis Baumela. Visión por Computador – p.14/19

## Modelo afín de cámara

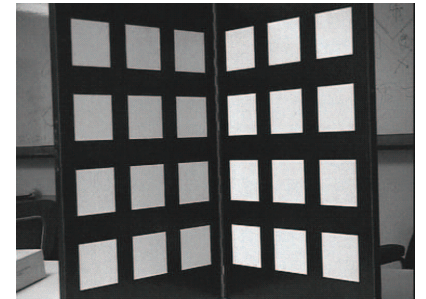
### Propiedades:

- Es una buena aproximación a una cámara “real” cuando el relieve de la escena es pequeño en comparación a la distancia media de la escena a la cámara.
- La proyección del centro de masas de una nube de puntos es el centro de masas de las proyecciones.
- Conserva el paralelismo.
- La dirección de proyección ortogonal es el vector  $\bar{d}$  tal que  $\mathbf{A}_{2 \times 3} \bar{d} = \bar{0}$ .
- **Caracterización.** Una matriz  $\mathbf{P}_{2 \times 4} = [\mathbf{A}_{2 \times 3} | \bar{b}_{2 \times 1}]$  representa una cámara afín  $\iff$  el rango de  $\mathbf{A}$  es 2.

Luis Baumela. Visión por Computador – p.14/19

## Calibración

- ¿Qué es?  
Proceso en el que se calculan los parámetros de  $\mathbf{P}$  para una cámara concreta.
- ¿Cómo?  
Proyectando un conjunto de puntos de posición conocida
- Ecuaciones. Desarrollando:

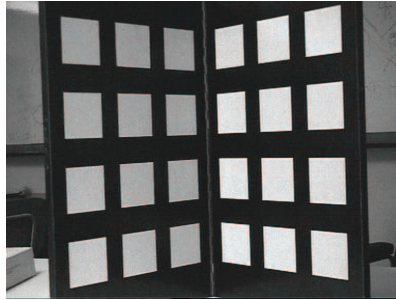


$$\begin{bmatrix} \lambda_j \\ \lambda_i \\ \lambda \end{bmatrix} = \begin{bmatrix} p_{11} & p_{12} & p_{13} & p_{14} \\ p_{21} & p_{22} & p_{23} & p_{24} \\ p_{31} & p_{32} & p_{33} & p_{34} \end{bmatrix} \begin{bmatrix} X \\ Y \\ Z \\ 1 \end{bmatrix}$$

Luis Baumela. Visión por Computador – p.15/19

# Calibración

- ¿Qué es?  
Proceso en el que se calculan los parámetros de  $P$  para una cámara concreta.
- ¿Cómo?  
Proyectando un conjunto de puntos de posición conocida



- Ecuaciones.

$$\begin{aligned} p_{11}X + p_{12}Y + p_{13}Z - p_{31}jX - p_{32}jY - p_{33}jZ - p_{34}j + p_{14} &= 0 \\ p_{21}X + p_{22}Y + p_{23}Z - p_{31}iX - p_{32}iY - p_{33}iZ - p_{34}i + p_{24} &= 0 \end{aligned}$$

Luis Baumela. Visión por Computador-- p.15/19

# Calibración

- Algoritmo:
  - Extrae los bordes de la imagen (p.ej. Canny).
  - Ajusta líneas rectas a los bordes extraídos.
  - Calcula las esquinas de los cuadrados intersectando rectas.
  - Dados un conjunto de  $n \geq 6$  correspondencias  $\{\bar{m}_i \leftrightarrow \bar{M}_i\}$ , resuelve el sistema de ecuaciones:

$$\underbrace{\begin{bmatrix} \bar{M}_i^\top & \bar{0} & -j\bar{M}_i^\top \\ \bar{0} & \bar{M}_i^\top & -i\bar{M}_i^\top \end{bmatrix}}_{\mathbf{A}(\bar{M})_{2n \times 9}} \underbrace{\begin{bmatrix} \bar{p}^1 \\ \bar{p}^2 \\ \bar{p}^3 \end{bmatrix}}_{\bar{x}(\mathbf{P})_{12 \times 1}} = \bar{0}_{2n \times 1}$$

Luis Baumela. Visión por Computador-- p.16/19

# Calibración

- Resolución del sistema de ecuaciones:
  - Solución lineal.** Calcula  $P$  mediante una solución lineal de  $\mathbf{A}\bar{x} = \bar{0}$ .
    - Normalización.** Normalizamos las coordenadas de los puntos 2D y 3D para mejorar el condicionamiento numérico:  
Sean  $\{\bar{m}_i = \mathbf{T}_{3 \times 3}\bar{m}_i, i = 1 \dots n\}$  y  $\{\bar{M}_i = \mathbf{U}_{4 \times 4}\bar{M}_i, i = 1 \dots n\}$  sendos conjuntos de datos centrados en el origen y a una distancia media del origen de  $\sqrt{2}$  y  $\sqrt{3}$  respectivamente.
    - Resuelve el sistema de ecuaciones**  $\mathbf{A}(\bar{M})\bar{x}(\bar{P}) = \bar{0}$ , s.a.  $\|\bar{x}\| = 1$ .  
Sea  $\text{svd}(\mathbf{A}) = \mathbf{U}\mathbf{D}\mathbf{V}^\top$ , la solución  $\bar{x}$  es la columna de  $\mathbf{V}$  asociada al menor valor singular.
  - Minimiza el error de reproyección.** Sea  $d(\cdot, \cdot)$  una distancia, calculamos

$$\min_{\bar{P}} \sum_i d(\tilde{x}_i, \tilde{P}\tilde{M}_i),$$

mediante un algoritmo iterativo (ej. Levenberg-Marquardt).

- Desnormalización.** La matriz de proyección para los datos originales  $P$

$$P = \mathbf{T}^{-1}\tilde{P}\mathbf{U}.$$

Luis Baumela. Visión por Computador-- p.17/19

# Calibración

- Estimación de  $K$ ,  $R$  y  $\bar{t}$ .

Conocida  $P = [A \mid \bar{b}]$ , mediante descomposición RQ de  $A$  (Hartley, 2004) se puede obtener  $K$  y  $R$ .

Conocida  $K$ ,  $\bar{t} = K^{-1}\bar{b}$ .

Luis Baumela. Visión por Computador-- p.18/19

# Bibliografía

1. D. Forsyth, J. Ponce. "Computer Vision. A modern approach." Prentice Hall. 2003.
2. R. Hartley, A. Zisserman. "Multiple view geometry in computer vision." Cambridge University Press, 2004.